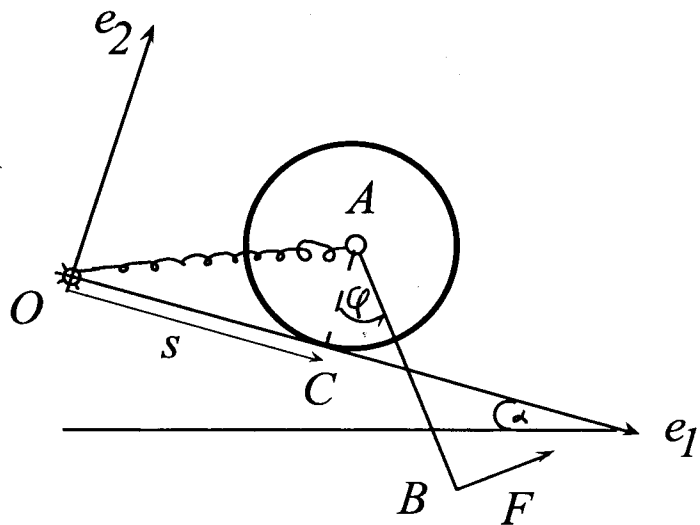


Compito di Meccanica Razionale

Trieste, 18 febbraio 2013

(G. Tondo)



Si consideri il sistema di figura costituito da un disco omogeneo di massa $2m$ e raggio R , che rotola senza strisciare su una guida fissa e inclinata rispetto all'orizzontale di un angolo α . Al centro del disco A è incernierata un'asta omogenea di lunghezza L e massa m . Il modello, posto nel piano verticale passante per la guida, è soggetto al peso proprio, alla forza della molla di costante elastica c , fissata al centro del disco e nel punto fisso O , alla forza F applicata all'estremo B dell'asta e sempre ortogonale all'asta.

STATICÀ.

Determinare:

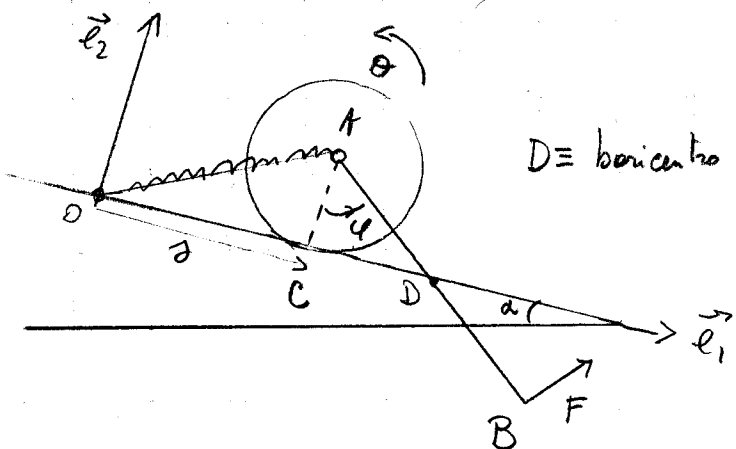
- 1) le configurazioni di equilibrio in funzione dei parametri del sistema;
- 2) le reazioni vincolari esterne sul disco nel punto C di contatto con la guida;
- 3) le reazioni vincolari interne sul disco nel centro A .

DINAMICA.

- 4) Scrivere un sistema di equazioni differenziali pure di moto;
- 5) calcolare le reazioni vincolari esterne sul disco nel punto C di contatto con la guida, durante i moti;
- 6) le reazioni vincolari interne sul disco nel centro A , durante i moti; *(solo 6 CFU)*
- 6a) linearizzare le equazioni del punto 4) intorno alle configurazioni di equilibrio (solo 9 CFU).

Tema del 18/02/2013

11



D = baricentro dell'asta

Cinematica

Il modello ha 2 g.l., come si dimostra con il metodo dei congeggiamenti necessari. Scelgiamo come coordinate libere l'ascina del centro del disco A (coincidente con quelle del punto di contatto C) e l'angolo formato dal versore (\vec{e}_2) e dal versore dell'asta verso (B-A),

$$(z, \varphi) \quad z \in \mathbb{R}, -\pi < \varphi \leq \pi$$

Ricordiamo che, introducendo come coordinate associate l'angolo di rotazione del disco O, del vincolo di pura rotolamento regne che

$$\dot{\theta} = -\frac{\dot{s}}{R} \Rightarrow \vec{\omega} = \dot{\theta} \vec{e}_3 = -\frac{\dot{s}}{R} \vec{e}_3$$

1) Analizzando la solle citazione attiva, osserviamo che essa è composta da una parte conservativa, il peso proprio del disco e dell'asta e le forze elastica delle molle con estremo fino in A.

Invece, il carico "follower" \vec{F}_B sarà non conservativo.

Allora, per scrivere le equazioni pure di equilibrio, poniamo calcolare le forze generalizzate della solle citazione conservativa, derivando l'energia potenziale rispetto alle coordinate libere.

Invece, per calcolare le forze generalizzate del carico follower, poniamo usare la definizione oppure il suo lavoro virtuale.

$$(2.1) \quad V(s, \varphi) = \frac{1}{2} c \overline{OA}^2 - 2m \vec{g} \cdot \vec{x}_A - m \vec{g} \cdot \vec{x}_B = \frac{1}{2} c \overline{OA}^2 - m \vec{g} \cdot (2\vec{x}_A + \vec{x}_B)$$

$$(2.2) \quad \vec{x}_A = s \vec{e}_1 + R \vec{e}_2 \Rightarrow \overline{OA}^2 = s^2 + R^2$$

$$(2.3) \quad \vec{x}_B = \vec{x}_A + (\vec{x}_B - \vec{x}_A) = s \vec{e}_1 + R \vec{e}_2 + \frac{L}{2} (\sin \varphi \vec{e}_1 - \cos \varphi \vec{e}_2) = \\ = \left(s + \frac{L}{2} \sin \varphi \right) \vec{e}_1 + \left(R - \frac{L}{2} \cos \varphi \right)^2 \vec{e}_2$$

$$\vec{g} = g (\sin \alpha \vec{e}_1 - \cos \alpha \vec{e}_2)$$

Quindi,

$$V(s, \varphi) = \frac{1}{2} c (s^2 + R^2) - 2m g (\sin \alpha \vec{e}_1 - \cos \alpha \vec{e}_2) \cdot (s \vec{e}_1 + R \vec{e}_2) + \\ - m g (\sin \alpha \vec{e}_1 - \cos \alpha \vec{e}_2) \cdot \left[\left(s + \frac{L}{2} \sin \varphi \right) \vec{e}_1 + \left(R - \frac{L}{2} \cos \varphi \right) \vec{e}_2 \right]$$

$$\begin{aligned}
 V(s, \varphi) &= +\frac{1}{2} c s^2 - 2mg \sin d s + 2mg \cos d R + \\
 &\quad - mg \sin d \left(s + \frac{L}{2} \sin \varphi \right) + mg \cos d \left(R - \frac{L}{2} \cos \varphi \right) \\
 &= \frac{1}{2} c s^2 - 3mg \sin d s - mg \frac{L}{2} (\sin d \sin \varphi + \cos d \cos \varphi), \\
 &= \frac{1}{2} c s^2 - 3mg \sin d s - mg \frac{L}{2} \cos(\varphi - d)
 \end{aligned}$$

le forze generalizzate del carico "follower" \vec{F}_B
possono essere calcolate dal lavoro virtuale nell'arco

$$\begin{aligned}
 \delta V^{(\text{tot})} &= \vec{F}_B \cdot \delta \vec{x}_A + \vec{M}_A \cdot \vec{\epsilon} \\
 &= F(\cos \varphi \vec{e}_1 + \sin \varphi \vec{e}_2) \cdot \delta s \vec{e}_1 + \\
 &\quad + FL \delta \varphi \vec{e}_3 \\
 &= F \cos \varphi \delta s + FL \delta \varphi
 \end{aligned}
 \qquad
 \begin{aligned}
 \delta \vec{x}_A &= \delta s \vec{e}_1 \\
 \vec{\epsilon} &= \delta \varphi \vec{e}_3 \\
 \vec{F}_B &= F \vec{e}_3 \times \text{vers}(B-A) \\
 &= F \vec{e}_3 (\sin \varphi \vec{e}_1 - \cos \varphi \vec{e}_2) \\
 &= F (\cos \varphi \vec{e}_1 + \sin \varphi \vec{e}_2)
 \end{aligned}$$

Dunque

$$Q_s = F \cos \varphi \quad , \quad Q_{\varphi}^{(\text{tot})} = FL \quad \frac{\partial Q_s^{(\text{tot})}}{\partial \varphi} = -F \sin \varphi \neq \frac{\partial Q_{\varphi}^{(\text{tot})}}{\partial s}$$

mentre

$$Q_s^{(\text{cor})} = -\frac{\partial V}{\partial s} = -(s - 3mg \sin d)$$

$$Q_{\varphi}^{(\text{cor})} = -\frac{\partial V}{\partial \varphi} = -mg \frac{L}{2} \sin(\varphi - d)$$

Pertanto, le forze generalizzate totali sono

$$(4.1) \quad Q_3 = F \cos \varphi - c s + 3 m g \sin d$$

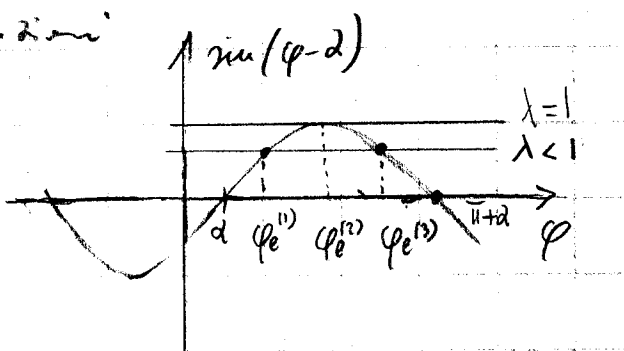
$$Q_\varphi = FL - m g \frac{L}{2} \sin(\varphi - d)$$

e le eq. pure di equilibrio

$$(4.2) \quad \begin{cases} F \cos \varphi - c s = -3 m g \sin d \\ m g \frac{L}{2} \sin(\varphi - d) = FL \end{cases}$$

La II eq. delle (4.2) ha soluzioni

$$\sin(\varphi - d) = \frac{2F}{mg} = \lambda > 0$$



$$\text{se } \lambda = 1 \quad \varphi_e^{(2)} = \frac{\pi}{2} + d$$

$$\text{se } \lambda < 1 \quad \varphi_e^{(1)} = d + \arcsin \lambda, \quad \varphi_e^{(3)} = \pi + d - (\varphi_e^{(1)} - d) = \pi + d - \arcsin \lambda$$

Sostituendo nello I eq. delle (4.2) si trova

$$(4.3) \quad s_e = 3 \frac{m g \sin d}{c} + \frac{F}{c} \cos \varphi_e, \quad \text{dove}$$

$$(4.4) \quad \text{se } \lambda = 1 \quad \cos \varphi_e^{(2)} = \cos\left(\frac{\pi}{2} + d\right) = -\sqrt{\frac{1}{2}} \cos d - \sin\frac{\pi}{2} \sin d = -\sin d$$

se $\lambda < 1$

(5)

$$\cos \varphi_e^{(1)} = \cos(\alpha + \arcsin \lambda) = \cos \alpha \cos(\arcsin \lambda) - \sin \alpha \sin(\arcsin \lambda)$$

$$= \cos \alpha \sqrt{1-\lambda^2} - \sin \alpha \lambda$$

(5.1)

$$\cos \varphi_e^{(3)} = \cos(\pi + \alpha - \arcsin \lambda) = \cos(\pi + \alpha) \cos(\arcsin \lambda) + \sin(\pi + \alpha) \sin(\arcsin \lambda)$$

$$= -\cos \alpha \sqrt{1-\lambda^2} - \sin \alpha \lambda < 0$$

Dunque, le configurazioni di equilibrio sono

$$\vec{\varphi}_e^{(1)} = \left(3 \frac{mg \sin \alpha}{c} + \frac{F}{c} (\sqrt{1-\lambda^2} \cos \alpha - \lambda \sin \alpha), \arcsin \lambda \right)$$

$\lambda < 1$

$$\vec{\varphi}_e^{(3)} = \left(3 \frac{mg \sin \alpha}{c} - \frac{F}{c} (\sqrt{1-\lambda^2} \cos \alpha + \lambda \sin \alpha), \pi + \alpha - \arcsin \lambda \right)$$

$\lambda = 1$

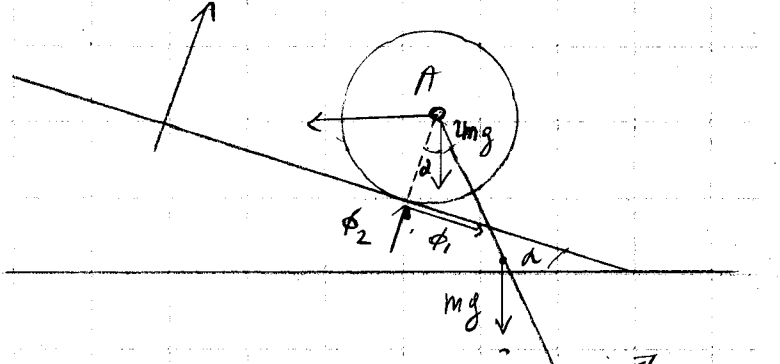
$$\vec{\varphi}_e^{(2)} = \left(3 \frac{mg - F}{c} \sin \alpha, \frac{\pi}{2} + \alpha \right)$$

2) Reazioni esterne sul disco in C, all'equilibrio

(6)

Sciviamo le I ECS

sul sistema proiettato lungo \vec{e}_2
e le II ECS sul solo disco



$$(6.1) \quad \vec{R}^{\text{ext}} \cdot \vec{e}_2 : \quad \phi_2 - cR + F \sin \phi_2 - 3mg \cos \alpha = 0$$

$$\vec{M}_A \cdot \vec{e}_2 : \quad \phi_1 R = 0 \Rightarrow \phi_1 = 0$$

Dunque,

$$(6.2) \quad \phi_1 = 0, \quad \phi_2 = cR + 3mg \cos \alpha - F \sin \phi_2$$

Calcoliamo il min ϕ_2 nelle 3 config. di equilibrio:

$$\min \phi_2^{(1)} = \min (\alpha + \arcsin \lambda) = \min \alpha \cos(\arcsin \lambda) + \cos \alpha \sin(\arcsin \lambda) = \min \alpha \sqrt{1-\lambda^2} + \cos \alpha \lambda$$

$$(6.3) \quad \min \phi_2^{(2)} = \min \left(\frac{\pi}{2} + \alpha \right) = \min \frac{\pi}{2} \cos \alpha + \cos \frac{\pi}{2} \sin \alpha = \cos \alpha$$

$$\min \phi_2^{(3)} = \min \left(\pi + \alpha - \arcsin \lambda \right) = \min (\pi + \alpha) \cos(\arcsin \lambda) + -\cos(\pi + \alpha) \sin(\arcsin \lambda) = -\min \alpha \sqrt{1-\lambda^2} + \cos \alpha \lambda$$

Pertanto, le reazioni in C sono

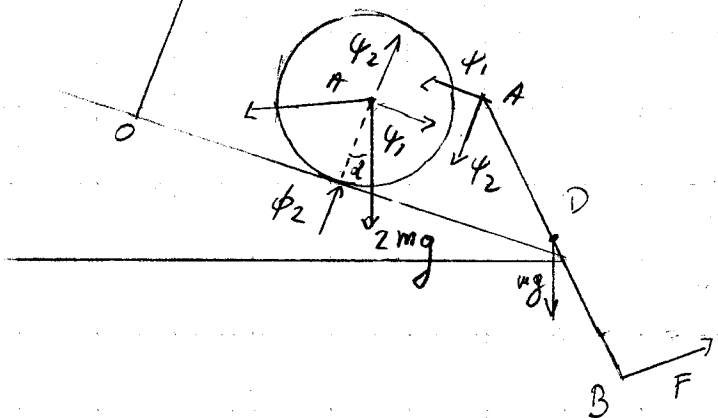
$$(6.4) \quad \vec{F} = (cR + 3mg \cos \alpha - F \sin \phi_2) \vec{e}_2$$

con $\min \phi_2$ dato dalle (6.3)

3) Reazioni vincolari sul disco in A

[7]

Per calcolare le reazioni dell'asta sul disco in A, scriviamo le I ECS sul solo disco.



$$\begin{aligned} \vec{R} \cdot \vec{e}_1 &: \quad \left\{ \begin{array}{l} -C \phi_2 + 2mg \sin \alpha + \psi_1 = 0 \\ -C R - 2mg \cos \alpha + \psi_2 + \phi_2 = 0 \end{array} \right. \\ \vec{R} \cdot \vec{e}_2 &: \end{aligned}$$

Dunque,

$$(7.1) \quad \begin{aligned} \psi_1 &= C \alpha - 2mg \sin \alpha \stackrel{(6.3)}{=} 3mg \sin \alpha + F_{\text{esq}} - mg \sin \alpha \\ &= 2mg \sin \alpha + F_{\text{esq}} \phi_2 \\ \psi_2 &= CR + 2mg \cos \alpha - \phi_2 \stackrel{(6.4)}{=} CR + 2mg \cos \alpha - \sqrt{R^2 - 3mg^2 \cos^2 \alpha} + F_{\text{esq}} \\ &= -mg \cos \alpha + F_{\text{esq}} \phi_2 \end{aligned}$$

Il risultato si ottiene sostituendo in (7.1) le (4.4), (5.1) e (6.3).

Dinamica

Sciviamo le EL non conservative. A tale scopo calcoliamo l'energia cinetica del modello.

$$(8.1) \quad K = K^{(d)} + K^{(e)}$$

$$K^{(d)} = \frac{1}{2} \cancel{2m} |\vec{V}_A|^2 + \frac{1}{2} \overset{(a)}{J_{3A}} |\vec{\omega}^{(a)}|^2$$

$$(8.2) \quad \vec{V}_A = \dot{\vec{r}}_A = \dot{s} \vec{e}_1 \Rightarrow |\vec{V}_A|^2 = \dot{s}^2$$

$$(8.3) \quad K^{(d)} = m \dot{s}^2 + \frac{1}{2} m \cancel{\beta^2} \frac{\dot{s}^2}{\cancel{\beta^2}} = \frac{3}{2} m \dot{s}^2$$

$$\overset{(a)}{J_{3A}} = \frac{1}{2} (2m) R^2 = m \beta^2$$

$$\vec{\omega}^{(a)} = - \frac{\dot{s}}{R} \vec{e}_3$$

$$K^{(a)} = \frac{1}{2} m |\vec{V}_B|^2 + \frac{1}{2} \overset{(a)}{J_{3D}} |\vec{\omega}^{(a)}|^2$$

$$\overset{(a)}{J_{3D}} = \frac{1}{12} m L^2$$

$$\vec{\omega}^{(a)} = \dot{\varphi} \vec{e}_3$$

$$(8.4) \quad \vec{V}_B = \dot{\vec{r}}_D = \left(\dot{s} + \frac{L}{2} \cos \varphi \dot{\varphi} \right) \vec{e}_1 + \frac{L}{2} \sin \varphi \dot{\varphi} \vec{e}_2$$

$$\begin{aligned} |\vec{V}_B|^2 &= \left(\dot{s} + \frac{L}{2} \cos \varphi \dot{\varphi} \right)^2 + \left(\frac{L}{2} \sin \varphi \dot{\varphi} \right)^2 = \\ &= \dot{s}^2 + \frac{L^2}{4} \cos^2 \varphi \dot{\varphi}^2 + L \cos \varphi \dot{s} \dot{\varphi} + \frac{L^2}{4} \sin^2 \varphi \dot{\varphi}^2 = \\ &= \dot{s}^2 + \frac{L^2}{4} \dot{\varphi}^2 + L \cos \varphi \dot{s} \dot{\varphi} \end{aligned}$$

$$\begin{aligned} K^{(a)} &= \frac{1}{2} m \left(\dot{s}^2 + \frac{L^2}{4} \dot{\varphi}^2 + L \cos \varphi \dot{s} \dot{\varphi} \right) + \frac{1}{2} \frac{1}{12} m L^2 \dot{\varphi}^2 = \\ &= \frac{1}{2} m \left(\dot{s}^2 + \frac{1}{3} L^2 \dot{\varphi}^2 + L \cos \varphi \dot{s} \dot{\varphi} \right) \end{aligned}$$

Dunque,

(9)

$$(9.1) \quad K = \frac{3}{2} m \dot{s}^2 + \frac{1}{2} m \left(\dot{s}^2 + \frac{1}{3} L^2 \dot{\varphi}^2 + L \cos \varphi \dot{s} \dot{\varphi} \right) = \\ = \frac{1}{2} m \left(4 \dot{s}^2 + \frac{1}{3} L^2 \dot{\varphi}^2 + L \cos \varphi \dot{s} \dot{\varphi} \right)$$

Pertanto,

$$\frac{\partial K}{\partial \dot{s}} = 4m \dot{s} + \frac{1}{2} m L \sin \varphi \dot{\varphi}, \quad \frac{\partial K}{\partial s} = 0$$

$$\frac{d}{dt} \left(\frac{\partial K}{\partial \dot{s}} \right) = m \left[4 \ddot{s} + \frac{L}{2} (\cos \varphi \ddot{\varphi} - \sin \varphi \dot{\varphi}^2) \right]$$

Quindi, l'EL relativa alla coordinate s è

$$(9.2) \quad m \left[4 \ddot{s} + \frac{L}{2} (\cos \varphi \ddot{\varphi} - \sin \varphi \dot{\varphi}^2) \right] \stackrel{(4.1)}{=} F \cos \varphi - e_s + 3mg \sin \varphi.$$

Inoltre,

$$\frac{\partial K}{\partial \dot{\varphi}} = m \left(\frac{L^2}{3} \ddot{\varphi} + \frac{L}{2} \cos \varphi \dot{s} \right), \quad \frac{\partial K}{\partial \varphi} = -\frac{1}{2} m L \sin \varphi \dot{s} \dot{\varphi}$$

$$\frac{d}{dt} \left(\frac{\partial K}{\partial \dot{\varphi}} \right) = m \left[\frac{L^2}{3} \ddot{\varphi} + \frac{L}{2} (\cos \varphi \ddot{s} - \sin \varphi \dot{s} \dot{\varphi}) \right].$$

Pertanto, l'EL relativa alla coordinate φ è

$$m \left[\frac{L^2}{3} \ddot{\varphi} + \frac{L}{2} (\cos \varphi \ddot{s} - \sin \varphi \dot{s} \dot{\varphi}) \right] + \cancel{\frac{1}{2} m L \sin \varphi \dot{s} \dot{\varphi}} = Q_\varphi, \text{ cioè}$$

$$(9.3) \quad m \left(\frac{L^2}{3} \ddot{\varphi} + \frac{L}{2} \cos \varphi \dot{s} \right) \stackrel{(4.1)}{=} FL - mg \frac{L}{2} \sin(\varphi - \alpha)$$

5) Reazioni dinamiche in C nel disco.

10

Analogamente alle statiche, scriviamo

$$(10.1) \left\{ \begin{array}{l} \vec{R}_{\text{ext}}^{\text{ext}} \cdot \vec{e}_2 = \left(2m \ddot{\vec{r}}_A + m \ddot{\vec{r}}_D \right) \cdot \vec{e}_2 \\ \vec{M}_A^{(\text{disco})} \cdot \vec{e}_3 = \frac{d \vec{I}_A^{(\text{disco})}}{dt} \cdot \vec{e}_3 \end{array} \right.$$

$$(10.2) \ddot{\vec{r}}_A = \dot{\vec{v}}_A = \dot{s} \vec{e}_1, \quad \ddot{\vec{r}}_D = \left[\ddot{s} + \frac{L}{2} (\cos \varphi \ddot{\phi} - \sin \varphi \dot{\phi}^2) \right] \vec{e}_1 + \frac{L}{2} (\sin \varphi \ddot{\phi} + \cos \varphi \dot{\phi}^2) \vec{e}_2$$

$$(10.3) \vec{I}_A^{(\text{disco})} = I_A(\vec{w}) = J_{3A} \left(-\frac{i}{R} \right) \vec{e}_3 = \frac{1}{2} (2mR^2) \left(-\frac{i}{R} \right) \vec{e}_3 = -mRi \vec{e}_3$$

Dunque, le (10.1) si scrivono

$$\left\{ \begin{array}{l} \dot{\phi}_2' - CR + F \sin \varphi - 3mg \cos \vartheta = m \frac{L}{2} (\sin \varphi \ddot{\phi} + \cos \varphi \dot{\phi}^2) \\ \dot{\phi}_1 R = -mR \ddot{s} \end{array} \right.$$

cioè

$$(10.4) \left\{ \begin{array}{l} \dot{\phi}_2' = CR - F \sin \varphi + 3mg \cos \vartheta + m \frac{L}{2} (\sin \varphi \ddot{\phi} + \cos \varphi \dot{\phi}^2) \\ \dot{\phi}_1' = -m \ddot{s} \end{array} \right.$$

6) Reazioni dinamiche sul disco in A

(11)

Analogamente al caso statico,

$$(11.1) \quad \vec{R}^{\text{ext, disco}} \cdot \vec{e}_1 = 2m \ddot{\vec{x}}_A \cdot \vec{e}_1$$

$$\vec{R}^{\text{ext, disco}} \cdot \vec{e}_2 = 2m \ddot{\vec{x}}_A \cdot \vec{e}_2$$

Quindi,

$$(11.2) \quad \begin{cases} -c s + 2mg \sin \alpha + \dot{\varphi}_1' = 2m \ddot{s} \\ -c R - 2mg \cos \alpha + \dot{\varphi}_2' + \dot{\varphi}_1' = 0 \end{cases}$$

Allora, risolvendo le 1 eq. rispetto a $\dot{\varphi}_1'$ e $\dot{\varphi}_2'$
 seconda rispetto a $\dot{\varphi}_2'$ dopo aver sostituito la $\dot{\varphi}_1'$
 della (10.4), si trova

$$(11.3) \quad \begin{cases} \dot{\varphi}_1' = c s - 2mg \sin \alpha + 2m \ddot{s} \\ \dot{\varphi}_2' = c R + 2mg \cos \alpha - \dot{\varphi}_1' = \\ = c R + 2mg \cos \alpha - [c R - F_{\text{frin}} \varphi + 3mg \cos \alpha + \frac{mL}{2} (\sin \varphi \ddot{\varphi} + \cos \varphi \dot{\varphi}^2)] \\ = -mg \cos \alpha + F_{\text{frin}} \varphi - \frac{mL}{2} (\sin \varphi \ddot{\varphi} + \cos \varphi \dot{\varphi}^2) \end{cases}$$

6a) linearizzazione delle EL intorno agli equilibri

(12)

La sollecitazione non è conservativa, quindi, introdotto il vettore degli scarti

$$\vec{x} = \vec{q} - \vec{q}_e$$

dobbiamo avere \vec{x} la forma

$$A \ddot{\vec{x}} + B \dot{\vec{x}} + C \vec{x} = 0,$$

dove

$$A = A(\vec{q}_e), \quad B_{ij} = -\frac{\partial Q_i}{\partial q_j|_{\vec{q}_e}}, \quad C_{ij} = -\frac{\partial Q_i}{\partial q_j|_{\vec{q}_e}}$$

Quindi

$$A = m \begin{bmatrix} 4 & \frac{L}{2} \cos \varphi_e \\ \frac{L}{2} \cos \varphi_e & \frac{1}{3} L^2 \end{bmatrix},$$

$$C = - \begin{bmatrix} \frac{\partial Q_s}{\partial s} & \frac{\partial Q_s}{\partial \varphi} \\ \frac{\partial Q_d}{\partial s} & \frac{\partial Q_d}{\partial \varphi} \end{bmatrix}_{|\vec{q}_e} = - \begin{bmatrix} -c & -F \sin \varphi_e \\ 0 & -\frac{mgL}{2} \cos(\varphi_e - d) \end{bmatrix}$$

Dunque,

$$m \begin{bmatrix} 4 & \frac{L}{2} \cos \varphi_e \\ \frac{L}{2} \cos \varphi_e & \frac{1}{3} L^2 \end{bmatrix} \begin{bmatrix} \ddot{x}_1 \\ \ddot{x}_2 \end{bmatrix} + \begin{bmatrix} c & F \sin \varphi_e \\ 0 & \frac{mgL}{2} \cos(\varphi_e - d) \end{bmatrix} \begin{bmatrix} x_1 \\ x_2 \end{bmatrix} = \begin{bmatrix} 0 \\ 0 \end{bmatrix}$$

Pertanto, le EL intorno a $\vec{\varphi}e^{(1)}$, sono

$$\begin{cases} 4m\ddot{x}_1 + m\frac{L}{2} \left(\cos 2\sqrt{1-\lambda^2} - \lambda \sin 2 \right) \ddot{x}_2 + c x_1 + F(\sin \lambda \sqrt{1-x^2} + \lambda \cos \lambda) x_2 = 0 \\ \frac{mL}{2} \left(\cos 2\sqrt{1-\lambda^2} - \lambda \sin 2 \right) \ddot{x}_1 + m\frac{L^2}{3} \ddot{x}_2 + \frac{mgL}{2} \sqrt{1-\lambda^2} x_2 = 0, \end{cases}$$

quelle intorno a $\vec{\varphi}e^{(2)}$

$$\begin{cases} 4m\ddot{x}_1 - m\frac{L}{2} \sin \lambda \ddot{x}_2 + c x_1 + F \cos \lambda x_2 = 0 \\ -m\frac{L}{2} \sin 2 \ddot{x}_1 + m\frac{L^2}{3} \ddot{x}_2 + \frac{mgL}{2} (-\sqrt{1-\lambda^2}) x_2 = 0 \end{cases}$$

quelle intorno a $\vec{\varphi}e^{(3)}$

$$\begin{cases} 4m\ddot{x}_1 - m\frac{L}{2} \left(\cos \lambda \sqrt{1-\lambda^2} + \lambda \sin \lambda \right) \ddot{x}_2 + c x_1 + F(-\sin \lambda \sqrt{1-\lambda^2} + \cos \lambda) x_2 = 0 \\ -m\frac{L}{2} \left(\cos \lambda \sqrt{1-\lambda^2} + \lambda \sin \lambda \right) \ddot{x}_1 + m\frac{L^2}{3} \ddot{x}_2 + \frac{mgL}{2} (-\sqrt{1-\lambda^2}) x_2 = 0. \end{cases}$$